

PHƯƠNG PHÁP TRUYỀN NHẢY NÚT MÔ MEN KHÔNG CÂN BẰNG ÁP DỤNG CHO HỆ KHUNG PHẲNG LIÊN TỤC

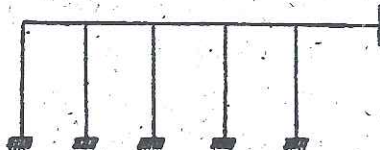
VŨ NHƯ CẦU

Ở với hệ khung có bậc siêu tĩnh cao, trong quá trình tính nội lực, ta phải giải một hệ phương trình đại số tuyến tính gồm nhiều ẩn số và sự hội tụ m có thể xảy ra khi giải theo phương pháp tính lặp. Tác giả bài báo nêu lên t phương pháp tính toán nhằm giải quyết 2 vấn đề:

- Giảm số lượng các ẩn số đến mức đáng kể.
- Tăng nhanh tốc độ hội tụ trong quá trình tính lặp.

Phương pháp của tác giả có thể áp dụng trực tiếp cho hệ dầm liên tục, khung liên tục, hệ khung nhiều tầng 1 nhịp và 2 nhịp đối xứng chịu các trọng đổi xứng. Đồng thời, phương pháp cũng có thể mở rộng cho hệ khung i lực gồm các xà ngang có dạng thanh cong hoặc thanh gãy khúc, hệ khung ều tầng nhiều nhịp có nút chuyền vị thẳng mà trong phạm vi một bài báo giả không thể đề cập đến.

Giả sử có một hệ khung liên tục với nút chuyền vị thẳng gồm các phần tử có độ iug thay đổi như trên hình 1. Tại mỗi nút của khung đó, chỉ có một thành phần chuyền vị là xoay. Ta sẽ chọn giá trị mô men không cân g tại mỗi nút làm ẩn số.



Hình 1

Để áp dụng phương pháp truyền nhảy nút mô men không cân bằng, trước ta hãy phân tích sự phân phoi và truyền nội lực trên một phần tử tĩnh a cơ bản (hình 2). Gọi:

i — nút trung tâm hay nút chính;

j — nút trung gian;

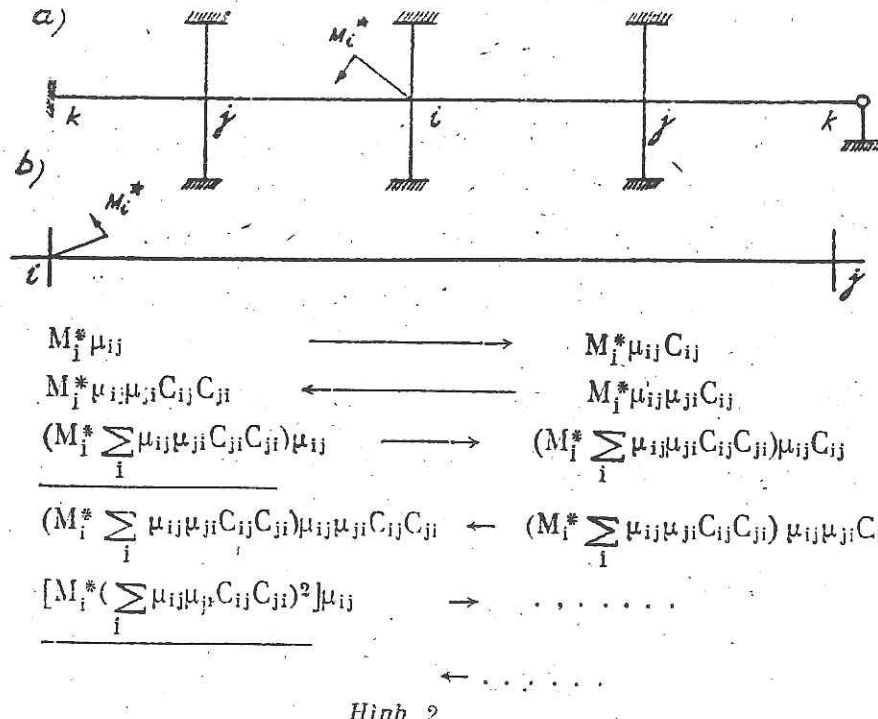
k — nút biên (có thể ngầm hoặc khớp);

μ_{ij} — hệ số phân phoi mô men tại đầu i của thanh i j;

C_{ij} — hệ số truyền mômen từ đầu i đến đầu j của thanh i j.

Giả sử nút i chịu tác động của một mômen không cân bằng nào đó M_i .

Sau khi đóng tắt cả các nút (giữ cho nút không có chuyển vị xoay) ta lần lượt mở (để cho nút chuyển vị xoay) và đóng các nút i, j. Qua nhiều chu trình tính toán, ta sẽ được một sơ đồ phân phôi và truyền mômen (sơ đồ truyền biến thị bằng các đường thẳng có mũi tên) như trên hình 2 (tại nút i thực ra có nhiều thanh quy tụ nhưng để hình vẽ được đơn giản, chỉ biểu thị lượng trung 1 thanh ij). Trong đó, các biểu thức có gạch ở dưới biến thị các giá trị mômen không cân bằng tại nút i lần lượt xuất hiện qua các chu trình tính toán (thực ra có



M_i^{*T} — tổng giá trị mômen không cân bằng tích lũy tại nút i;

M_i^* — giá trị mômen không cân bằng ban đầu tại nút i;

η_i — hệ số tích lũy tại nút i.

$$\eta_i = \frac{1}{1 - k_i} \quad (4)$$

ong đó: k_i tính theo công thức (1).

Trong trường hợp tổng quát, tại các nút trung gian j có thể tồn tại các mômen ngầm \bar{M}_j do tải trọng cục bộ gây ra. Khi đó, ta mở các nút trung gian để cho chúng cân bằng rồi đóng chúng lại. Sau đó, thực hiện các chu trình nh toán như đã trình bày ở trên, ta được:

$$M_i^{*T} = (M_i^* + M_i^o) \eta_i \quad (5); \quad M_i^o = \sum_j \bar{M}_j \lambda_{ji} \quad (6)$$

i — giá trị mômen không cân bằng bổ sung tại nút i do các mômen ngầm \bar{M}_j i các nút trung gian lân cận truyền đến. Dấu tổng \sum_j áp dụng cho các thanh cốt \bar{M}_j tác dụng quy tụ tại nút i.

Sau khi kết thúc quá trình phân phối và truyền mômen tại các nút i và giá trị mômen xuất hiện tại nút biên là (hình 2b):

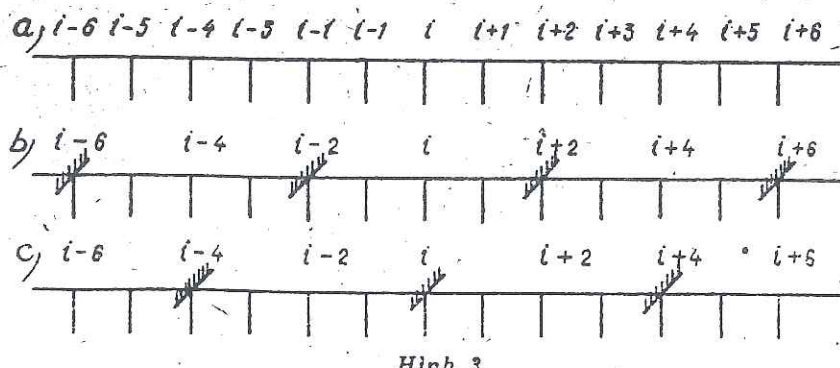
$$M_{kj} = M_i^{*T} \lambda_{ij} \lambda_{jk} + \bar{M}_{kj} + M_{kj}^o \quad (7)$$

λ_{kj} — giá trị mômen ngầm tại đầu k của thanh jk do tải trọng cục bộ gây ra;

M_{kj}^o — giá trị mômen không cân bằng tại đầu k của thanh jk do mômen ngầm \bar{M}_j tại nút trung gian j lân cận truyền đến.

$$M_{kj}^o = \bar{M}_j \lambda_{ik} \quad (8)$$

Trên cơ sở các công thức (5) và (7) ta có thể thành lập hệ phương trình mômen không cân bằng để giải theo phương pháp tính lập đơn giản như sau:



Hình 3

Tập hợp một số nút của hệ khung biểu thị trên hình 3a. Giả sử ở chu trình tính toán thứ m, ta đóng các nút $(i-6), (i-2), (i+2)$ và $(i+6)$ để tạo thành các phần tử tính toán cơ bản $(i-6), (i-2), (i+2), (i+2)$,

(i + 6) (hình 3b) và tại các nút trung tâm i, (i - 4), (i + 4) tồn tại các mô men không cân bằng $M_i^{*(m)}$, $M_{i-4}^{*(m)}$, $M_{i+4}^{*(m)}$. Từ các công thức (5) và (7), giá trị mô men không cân bằng xuất hiện ở chu trình tính toán thứ m tại các nút biên (i - 2) và (i + 2) bằng:

$$M_{i-2}^{*(m)} = (M_{i-4}^{*(m)} + M_{i-4}^0) \eta_{i-4} \lambda_{i-4, i-3} \lambda_{i-3, i-2} + \\ + (M_i^{*(m)} + M_i^0) \eta_i \lambda_{i, i-1} \lambda_{i-1, i-2} + \bar{M}_{i-2}; \quad (b)$$

$$M_{i+2}^{*(m)} = (M_i^{*(m)} + M_i^0) \eta_i \lambda_{i, i+1} \lambda_{i+1, i+2} + \\ + (M_{i+4}^{*(m)} + M_{i+4}^0) \eta_{i+4} \lambda_{i+4, i+3} \lambda_{i+3, i+2} + \bar{M}_{i+2}; \quad (c)$$

\bar{M}_{i-2} , \bar{M}_{i+2} – tổng giá trị mô men ngầm tại các nút (i - 2) và (i + 2) do tải trọng cục bộ gây ra.

Bây giờ đến chu trình tính toán thứ (m + 1) ta lại đóng các nút i, (i - 4), (i + 4) để tạo thành các phần tử tính toán cơ bản (i - 4), i và i, (i + 4) (hình 3c). Cũng từ các công thức (5) và (7) giá trị mô men không cân bằng xuất hiện ở chu trình tính toán thứ (m + 1) tại nút biên i bằng:

$$M_i^{*(m+1)} = (M_{i-2}^{*(m)} + M_{i-2}^0) \eta_{i-2} \lambda_{i-2, i-1} \lambda_{i-1, i} + \\ + (M_{i+2}^{*(m)} + M_{i+2}^0) \eta_{i+2} \lambda_{i+2, i+1} \lambda_{i+1, i} + \bar{M}_i. \quad (d)$$

Thay giá trị của $M_{i-2}^{*(m)}$ và $M_{i+2}^{*(m)}$ từ các biểu thức (b) và (c) vào biểu thức (d) và tiến hành chỉnh lý, rút gọn, ta được:

$$M_i^{*(m+1)} = \gamma_{i-4, i} M_{i-4}^{*(m)} + \gamma_{i, i} M_i^{*(m)} + \gamma_{i+4, i} M_{i+4}^{*(m)} + a_i; \quad (9)$$

Trong đó: γ_{ki} ($k = i - 4, i + 4$) – hệ số truyền mô men không cân bằng từ nút k đến nút i cách nhau 4 nhịp gọi là hệ số truyền nhảy nút.

$$\gamma_{i-4, i} = \eta_{i-2} \eta_{i-4} \lambda_{i-4, i}; \quad (10)$$

$$\gamma_{i, i} = \eta_i (\eta_{i-2} \lambda_{i, i-2} \lambda_{i-2, i} + \eta_{i+2} \lambda_{i, i+2} \lambda_{i+2, i}); \quad (11)$$

$$\gamma_{i+4, i} = \eta_{i+2} \eta_{i+4} \lambda_{i+4, i}. \quad (12)$$

Trong các công thức (10) – (12), ta ký hiệu:

$$\lambda_{k, k+n} = \prod_{j=0}^{n-1} \lambda_{k+j, k+j+1}; \quad (13)$$

$$\lambda_{k, k-n} = \prod_{j=0}^{n-1} \lambda_{k-j, k-j-1}; \quad (14)$$

Các giá trị λ được tính theo công thức (2).

a_i – số hạng tải trọng.

$$a_i = \gamma_{i-4, i} M_{i-4}^0 + \gamma_{i, i} M_i^0 + \\ + \eta_{i-2} \lambda_{i-2, i} (\bar{M}_{i-2} + M_{i-2}^0) + \gamma_{i+4, i} M_{i+4}^0 + \gamma_{i+2} \lambda_{i+2, i} (\bar{M}_{i+2} + M_{i+2}^0) + \bar{M}_i; \quad (15)$$

ong đó: $M_s^o = \bar{M}_{s-1} \lambda_{s-1, s} + \bar{M}_{s+1} \lambda_{s+1, s}$ (16)

Ta gọi các nút $(i), (i-4), (i+4)$ trong phương trình (9) là các nút chính; t nằm giữa hai nút chính (chẳng hạn các nút $(i-2), (i+2)$ trên hình 3) là t phụ; nút nằm giữa một nút chính và một nút phụ lân cận (chẳng hạn các t $(i-1), (i+1)$... trên hình 3) là nút trung gian.

Ta giải hệ phương trình mô men không cân bằng (9) theo phương pháp h lặp đơn giản (chỉ số i áp dụng cho toàn bộ các nút chính của hệ khung) tìm giá trị mô men không cân bằng M_i^* tại các nút chính i.

Tổng giá trị mô men không cân bằng tích lũy tại các nút chính i linh eo công thức (5).

Tổng giá trị mô men không cân bằng tích lũy tại các nút phụ và các nút trung gian tính như sau:

t phụ k: $M_k^{*T} = \eta_k (M_{k-2}^{*T} \lambda_{k-2, k} + M_{k+2}^{*T} \lambda_{k+2, k} + \bar{M}_k + M_k^o)$. (17)

t trung gian j: $M_j^{*T} = M_{j-1}^{*T} \lambda_{j-1, j} + M_{j+1}^{*T} \lambda_{j+1, j} + \bar{M}_j$. (18)

Giá trị momen cuối cùng tại các đầu thanh quy tụ tại các nút tính như sau:

tang hạn đối với thanh ik, $M_{ik} = M_{ik}^f + M_{ik}^T + \bar{M}_{ik}$; (19)

μ_k — giá trị mô men phân phối; $M_{ik}^f = M_i^{*T} \mu_{ik}$; (20)

μ_k — giá trị mô men truyền từ đầu k đến đầu i của thanh ik;

$$M_{ki}^T = M_k^{*T} \lambda_{ki}; \quad (21)$$

k — giá trị mô men ngầm do tải trọng cục bộ gây ra.

Trong trường hợp khung gồm các phần tử có độ cứng không đổi, vì hệ truyền $C_{ij} = 0,5$ nên các công thức (10) — (21) cần sửa đổi lại như sau:

ong thức (10):

$$\gamma_{i-4, i} = 0,0625 \eta_{i-2} \eta_{i-4} \mu_{i-4, i}; \quad (10a)$$

ong thức (11):

$$\gamma_{i, i} = 0,0625 \eta_i (\eta_{i-2} \mu_{i, i-2} \mu_{i-2, i} + \eta_{i+2} \mu_{i, i+2} \mu_{i+2, i}). \quad (11a)$$

ong thức (12):

$$\gamma_{i+4, i} = 0,0625 \eta_{i+2} \eta_{i+4} \mu_{i+4, i}; \quad (12a)$$

ong đó:

$$\mu_{k, k+n} = \prod_{j=0}^{n-1} \mu_{k+j, k+j+1}; \quad (13a)$$

$$\mu_{k, k-n} = \prod_{j=0}^{n-1} \mu_{k-j, k-j-1}; \quad (14a)$$

ong thức (15):

$$\begin{aligned} a_i &= \gamma_{i-4, i} M_{i-4}^o + \gamma_{i, i} M_i^o + 0,25 \eta_{i-2} \mu_{i-2, i} (\bar{M}_{i-2} + M_{i-2}^o) + \\ &+ \gamma_{i+4, i} M_{i+4}^o + 0,25 \eta_{i+2} \mu_{i+2, i} (\bar{M}_{i+2} + M_{i+2}^o) + \bar{M}_i \end{aligned} \quad (15a)$$

Công thức (16): $M_s^0 = 0,5(\bar{M}_{s-1}\mu_{s-1} + \bar{M}_{s+1}\mu_{s+1})$; (16a)

Công thức (17):

$$M_k^{*T} = \eta_k \{ 0,25[M_{k-2}^{*T}\mu_{k-2,k} + M_{k+2}^{*T}\mu_{k+2,k}] + \bar{M}_k + M_k^0 \}; \quad (17a)$$

Công thức (18):

$$M_j^{*T} = 0,5(M_{j-1}^{*T}\mu_{j-1,j} + M_{j+1}^{*T}\mu_{j+1,j}) + \bar{M}_j; \quad (18a)$$

Các công thức (19), (20) không có gì thay đổi.

Công thức (21):

$$M_{ik}^T = 0,5M_k^{*T}\mu_{ki}. \quad (21a)$$

Trên dây tác giả đã trình bày phương pháp tính toán áp dụng cho hệ khung với nút không có chuyển vị thẳng. Trong trường hợp nút có chuyển vị thẳng, cách tính tương tự như đã trình bày ở trên. Ta tiến hành tính toán theo các bước sau đây:

1. Cố định hệ khung bằng liên kết phụ để ngăn cản chuyển vị thẳng và áp dụng phương pháp trên dây để tính tổng giá trị mô men không cân bằng tích lũy tại các nút M_s^{*T} .

2. Cho toàn bộ khung chuyển vị thẳng một đoạn $\Delta = 1$ và áp dụng phương pháp trên dây để tính tổng giá trị mô men không cân bằng tích lũy tại các nút M_s^{*T} .

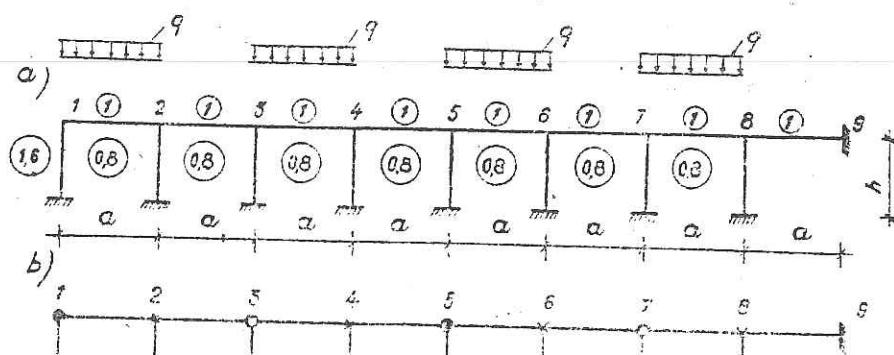
3. Từ điều kiện tổng phản lực tại liên kết phụ bằng không, tính chuyển vị thẳng thực tế Δ_t .

4. Từ nguyên lý công tác dụng, tổng giá trị mô men không cân bằng tích lũy cuối cùng tại các nút bằng:

$$M_s^{*T} = M_s^{*T} + \Delta_t M_s^{*T}. \quad (22)$$

Các bước còn lại tính hoàn toàn như đã trình bày ở trên.

Thí dụ đối với hệ khung với nút không có chuyển vị thẳng cho trên hình 4a, sơ đồ tính biểu thị như trên hình 4b trong đó chỉ có 2 nút chính (nút 3 và 7). Từ công thức (9), hệ phương trình mô men không cân bằng có dạng:



Hình 4. $a = 10m$; $h = 3m$; $q = 12t/m$; O — nút chính;
● — nút phụ; X — nút trung gian.

$$\begin{aligned} M_3^{*(m+1)} &= \gamma_{3,3} M_3^{*(m)} + \gamma_{7,3} M_7^{*(m)} + a_3; \\ M_7^{*(m+1)} &= \gamma_{3,7} M_3^{*(m)} + \gamma_{7,7} M_7^{*(m)} + a_7. \end{aligned} \quad (e)$$

Từ các công thức (10) – (12) và (15), ta tính được:

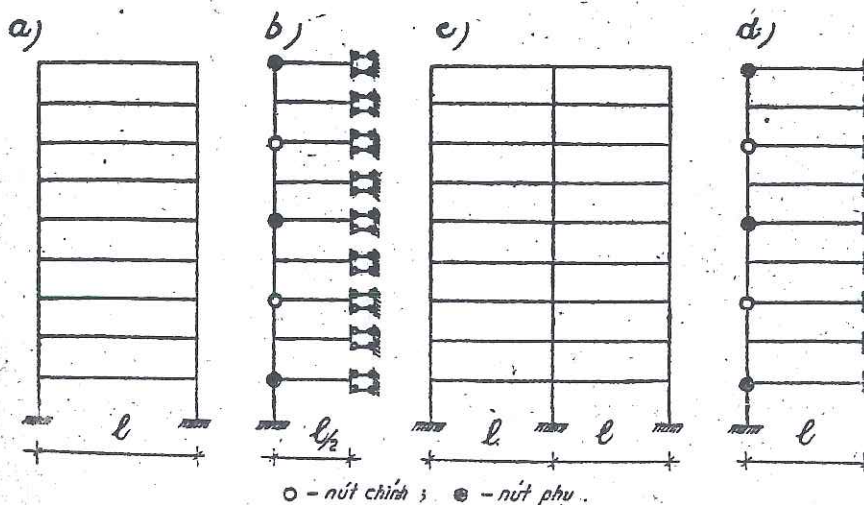
$$\begin{aligned} \gamma_{3,3} &= 0,0024; \quad \gamma_{7,3} = 0,0012; \quad a_3 = -108,94 t - m; \\ \gamma_{3,7} &= 0,0012; \quad \gamma_{7,7} = 0,0012; \quad a_7 = -104,70 t - m. \end{aligned}$$

Kết quả giải hệ phương trình (e) theo phương pháp tính lặp đơn giản nêu trong bảng 1.

Bảng 1

Thứ tự chương trình	$M_3^{*(m)}$	$M_7^{*(m)}$
1	-109,30 t - m	-104,94 t - m
2	-109,32	-104,95

Phương pháp tính toán trên đây có thể áp dụng trực tiếp cho hệ dầm liên tục, hệ khung nhiều tầng 1 nhịp và 2 nhịp đối xứng chịu các tải trọng đối称 (hình 5a, 5c). Sơ đồ tính tương ứng của chúng như trên các hình 5b – 5d.



Hình 5

KẾT LUẬN

Ta có thể rút ra mấy kết luận sau đây:

1. Phương pháp của tác giả có thể áp dụng trực tiếp cho hệ dầm liên tục, khung liên tục, hệ khung nhiều tầng 1 nhịp và 2 nhịp đối xứng chịu các tải trọng đối称. Đồng thời, phương pháp cũng có thể mở rộng cho hệ khung

liên tục phức tạp gồm các xà ngang có dạng thanh cong hoặc thanh gãy khúc, hệ khung nhiều tầng 1 nhịp đối xứng chịu các tải trọng bất kỳ, hệ khung nhiều nhịp nhiều tầng với nút có chuyền vị thẳng.

2. Trong cách tính này, số lượng các ẩn số đã được giảm bớt một cách đáng kể. Chẳng hạn đối với hệ khung liên tục và hệ dầm liên tục trên dưới 10 nhịp hoặc hệ khung (hình 5a, 5c) trên dưới 10 tầng, số lượng các ẩn số chỉ vào khoảng từ 2 đến 3.

3. Vì các hệ số phụ (hệ số truyền nhảy nút trong các công thức (10) – (12)) trong hệ phương trình (9) là những đại lượng bé bậc 8 nên dẫn đến một điều tất yếu là giá trị-tuyệt đối của chúng nhỏ đi một cách đáng kể. Do đó, quá trình tính lắp hội tụ rất nhanh chóng, việc giải phương trình rất đơn giản.

4. Khối lượng linh phụ tuy có tăng lên song sự tăng lên đó là không đáng kể so với sự giảm bớt số lượng các ẩn số và sự tăng nhanh tốc độ hội tụ trong quá trình tính lắp nên tổng khối lượng tính toán đã được giảm bớt một cách đáng kể.

Địa chỉ
Trường đại học vừa học vừa làm

Nhận ngày 30-4-1979

TÀI LIỆU THAM KHẢO

1. Fischer A. Calcul des cadres par la méthode des déformations, Paris, 1950.
2. Kloueek C.V: Distribution of deformation, Prague, 1950.
3. Charen P. Simplifications et améliorations à la méthode de Cross, Paris, 1966.
4. ФАДДЕЕВ Д. К. Вычислительные методы линейной алгебры, М., 1963.
5. СНИТКО Н.К. Расчет рамных сооружений интерационными методами на прочность и устойчивость. М., 1962.
6. СОСИС П. Статически неопределеные системы, Киев, 1968.

RÉSUMÉ

LA MÉTHODE DE TRANSMISSION D'UN NOEUD À L'AUTRE NON CONSÉCUTIF DES MOMENTS NON ÉQUILIBRÉS APPLIQUÉS AU CALCUL DES PORTIQUES CONTINUS

Dans le calcul des structures hautement hyperstatiques, on doit résoudre un système d'équations linéaires à plusieurs inconnues et la méthode des itérations pourrait présenter l'inconvénient d'une convergence lente.

Dans cet article, l'auteur expose une méthode de calcul simplifiée et caractérisée par la réduction considérable du nombre d'inconnues hyperstatiques et par la rapidité de convergence dans la méthode des itérations.

La méthode exposée peut être appliquée directement aux poutres continues, aux portiques continus à traverses droites, aux portiques étagés symétriques à une travée et à deux travées symétriquement chargés. Cette méthode s'étend également au cas des portiques continus à traverses curvilignes ou brisées et des portiques étagés à plusieurs travées susceptibles de subir des déplacements latéraux.